

- Note CEA-N-1971 -

Centre d'Etudes de Bruyères-le-Châtel

SECTIONS EFFICACES DES REACTIONS (n, xn) et (n, xnf) DES NOYAUX ²³¹Th, ²³²Th, ²³³Th DANS LE DOMAINE D'ENERGIE 1 MeV - 20 MeV

par

Jacqueline JARY

Note CEA-N-1971

DESCRIPTION-MATIERE (mote clefs extraits du thesaurus SIDON/INIS)

en français

en anglais

SECTIONS EFFICACES
CIBLE THORIUM 231
CIBLE THORIUM 232
CIBLE THORIUM 233
DOMAINE 01-10 MEV
REACTIONS PAR NEUTRONS
FISSION
REACTIONS DE NOYAU COMPOSE
BARRIERE DE FISSION
ENERGIE DE SEPARATION DU NEUTRON

CROSS SECTIONS
THORIUM 231 TARGET
THORIUM 232 TARGET
THORIUM 233 TARGET
MEV range 01-10
NEUTRON REACTIONS,
FISSION
COMPOUND-NUCLEOUS REACTIONS
FISSION BARRIER
NEUTRON SEPARATION ENERGY

- Note CEA-N-1971 -

Centre d'Etudes de Bruyères-le-Châtel

SECTIONS EFFICACES DES REACTIONS (n, xn) et (n, xnf)
DES NOYAUX ²³¹Th, ²³²Th, ²³³Th
DANS LE DOMAINE D'ENERGIE 1 MeV - 20 MeV

par

Jacqueline JARY

NOTE CEA-N-1971 - JARY Jacqueline SECTIONS EFFICACES DES REACTICAS (n,xn) ET (n,xnf) DES NOYAUX 231 Tb, 232 Tb, 233 Th DANS LE DOMAINE D'ENERGIE 1 MeV - 20 MeV

Sommaire. Cette note présente une évaluation par modèle stastistique des sections efficaces de fission et de réactions (n.2n), (n.3n) et (n.4n) induites par des neutrons sur les isotopes 23 Th, 232Th, et 233Th dans la gamme d'énergie 1 MeV - 20 MeV. La méthode d'évaluation consiste en une paramétrisation des largeurs de fission au moyen d'un ajustement sur les sections efficaces de fission connues. Elle utilise les pénétrabilités neutron fournies par un modèle en voies couplées et calcule les différentes largeurs (neutron, fission, radiative) par un modèle statistique en supposant des densités de niveaux du type gaz de Fermi.

1977

22 p.

Commissariat à l'Energie Atomique

NOTE CEA-N-1971 - JARY Jacqueline

STATISTICAL MODEL EVALUATION OF (n,xn) AND (n,xnf) CROSS-SECTIONS FOR 231 Th. 232 Th AND 233 Th FROM 1 MeV TO 20 MeV

Summuray. We present a method for a statistical model evaluation of fission and (n,xn) cross sections from 1 MeV to 20 MeV neutrons for thorium isotopes. It consists in the determination of fission width parameters by a fit to various experimental fission cross sections. This method makes use of neutron transmission coefficients from a coupled-channel model and neutron, fission and radiative widths calculated by the statistical model including Fermi gas model level densities. Results are presented for the nuclei 233Th, 232Th, 231Th.

1977

22 p.

Commissariat à l'Energie Atomique

SECTIONS EFFICACES DES REACTIONS (n,xn) ET (n,xnf) DES NOYAUX 231Th, 232Th, 233Th DANS LE DOMAINE D'ENERGIE 1 MeV - 20 MeV

1 - INTRODUCTION

En vue de fournir une estimation préliminaire en réponse à certains besoins exprimés (cf p.ex. [1]), le but de ce travail est de calculer par un modèle statistique simple [2], un ensemble cohérent de sections efficaces de fission et de réactions (n,2n), (n,3n) et (n,4n) induites par des neutrons dans trois isotopes du Thorium: 233Th, 232Th et 231Th, dans la gamme d'énergie 1 MeV - 20 MeV.

La méthode d'évaluation utilisée consiste à paramétriser les rapports des largeurs de fission aux largeurs totales d'une série d'isotopes par un ajustement aux sections efficaces de fission expérimentales. Les largeurs ainsi définies sont utilisées ensuite pour calculer, sans ajustement spécial, les sections efficaces (n,xn) et (n,xnf) $(1 \le x \le 4)$ notamment dans les domaines mal connus ou exempts de données expérimentales.

2 - RAPPEL SUCCINCT DE LA METHODE DE CALCUL

Dans une version simplifiée du modèle statistique, les sections efficaces '.,xn) et (n,xnf) ($1 \le x \le 3$) sont traitées sous la forme globale suivante qui néglige les effets de conservation du moment angulaire et de la parité :

$$\sigma (n,xn) = \sigma_c (E_n) \cdot \frac{\Gamma_n}{\Gamma_T} (E^{\Phi}) \cdot P (E^{\Phi}, xn\gamma)$$
 (1)

$$\sigma (n, xnf) = \sigma_c (E_n) \cdot \frac{\Gamma_n}{\Gamma_m} (E^{\oplus}) \cdot P (E^{\oplus}, xnf)$$
 (2)

Dans ces expressions, les sections efficaces apparaissent comme le produit de la section efficace de formation du noyau composé σ_c (E_n) relative à l'énergie E_n des reutrons incidents, par la probabilité de décroissance dans les voies (xn) et (xnf). Cette probabilité est elle-même le produit de la probabilité totale $\frac{\Gamma_n}{\Gamma_m}$ (E^{\oplus}) pour que le noyau composé excité à

l'énergie E^{\clubsuit} émette au moins un neutron par la probabilité relative $P(E^{\spadesuit}, xn\gamma)$ ou $P(E^{\spadesuit}, xnf)$ pour qu'il emette exactement x neutrons et évolue ensuite respectivement par émission γ ou par fission.

Les sections efficaces de formation du noyau composé utilisées dans ces calculs sont obtenues par un modèle en voies couplées [3]. Les probabilités relatives sont calculées sous la forme :

$$P (E^{\bullet}, xn\gamma) = \int_{0}^{E^{\bullet} - S_{1} - S_{2}... - S_{x}} \frac{d\epsilon_{1}.\epsilon_{1}.\sigma_{c}(\epsilon_{1}) \varrho (E_{1}^{\bullet}) \frac{\Gamma_{n}}{\Gamma_{T}} (E_{1}^{\bullet}) P (E_{1}^{\bullet}, (x-1)n\gamma)}{d\epsilon_{1}.\epsilon_{1}.\sigma_{c}(\epsilon_{1}) \varrho (E_{1}^{\bullet})}$$
(3)

Dans cette expression ϵ_1 est l'énergie du neutron émis. S_1 , S_2 ... sont les énergies de séparation d'un neutron respectivement du noyau composé, du premier noyau résiduel etc. ; ϱ (E_1^{\bullet}) est la densité de niveaux du ler noyau résiduel excité à l'énergie E_1^{\bullet} et $\sigma_c(\epsilon_1)$ est la section efficace de reaction inverse issue également d'un calcul en voies couplées [3].

Pour x > 1, P (E*, xnf) est une expression analogue à (3).

Dans le cas particulier où x=1, le dernier noyau résiduel ne peut plus qu'émettre des γ ou se fissionner. Les deux derniers facteurs de l'intégrant du numérateur de l'équation (3) sont alors remplacés respectivement par les rapp rts $\frac{\Gamma_{\gamma}}{\Gamma_{T}}$ ou $\frac{\Gamma_{f}}{\Gamma_{T}}$.

Les sections efficaces (n,4n) dont le seuil est voisin de 18 MeV pour les isotopes du thorium sont calculées selon le modèle de Jackson [4]. Dans ce modèle, compte tenu de la fission, la section efficace (n,4n) s'écrit :

$$\sigma(\mathbf{n}, \mathbf{h}_{\mathbf{n}}) = \sigma_{\mathbf{c}}(\mathbf{E}_{\mathbf{n}}) \cdot \frac{\Gamma_{\mathbf{n}}}{\Gamma_{\mathbf{T}}} \left(\mathbf{E}^{\bullet}\right) \frac{\Gamma_{\mathbf{n}}(\mathbf{E}_{\mathbf{1}}^{\bullet}) \frac{\Gamma_{\mathbf{n}}(\mathbf{E}_{\mathbf{2}}^{\bullet})}{\Gamma_{\mathbf{T}}} \frac{\Gamma_{\mathbf{n}}(\mathbf{E}_{\mathbf{3}}^{\bullet})}{\Gamma_{\mathbf{T}}} \left[\mathbf{I}(\Delta_{\mathbf{h}}, 5) - \mathbf{I}(\Delta_{\mathbf{h}}, 7)\right]$$
(4)

avec

I
$$(z,n) = \frac{1}{n!} \int_{0}^{z} y^{n} e^{-y} dy$$

$$\Delta_{l_{1}} = (E^{\Phi} - \sum_{i=1}^{l_{1}} S_{i}) / T$$

$$\Delta_{l_{1}}^{f} = (E^{\Phi} - \sum_{i=1}^{l_{1}} S_{i} - B_{f}^{(5)}) / T$$

B_f⁽⁵⁾ étant la barrière de fission du noyau résiduel.

Les énergies d'excitation E_1^{\bullet} , E_2^{\bullet} , E_3^{\bullet} des noyaux intermédiaires apparaissant dans le processus sont calculées en supposant que les neutrons émis emportent une énergie égale à la température nucléaire du noyau résiduel correspondant. La température nucléaire T qui apparaît dans les expressions de Δ_{\downarrow} et Δ_{\downarrow}^{f} ci-dessus est une température nucléaire moyenne obtenue à partir des températures des différents noyaux formés dans cette réaction.

Les densités de niveaux utilisées sont celles de Gilbert et Cameron [5] avec les corrections dues aux effets de couche et d'appariement. Au dessus d'une énergie de transition E_X^{\oplus} déterminée empiriquement [5], la densité de niveaux suit la loi :

$$\varrho(E^{\bullet} - \Delta) \sim \exp \left[2\sqrt{a(E^{\bullet} - \Delta)}\right] / \left[a^{1/2}(E^{\bullet} - \Delta)^{3/2}\right]$$
 (5)

<u>a</u> étant le paramètre de densité de niveaux, et Δ la correction d'énergie d'appariement. Au dessous de E_{χ} , la densité de niveaux est supposée suivre une loi en $\exp(\frac{E^{\oplus}}{T})$, où T est la température nucléaire.

Les différentes largeurs Γ_n , Γ_f , e^+ , Γ_γ sont calculées statistiquement à l'aide de ces densités de niveaux [2]. Les largeurs de fission, pour des énergies suffisantes au dessus de la barrière de fission B_f , sont écrites sous la forme

$$\Gamma_{\mathbf{f}}(\mathbf{E}^{\oplus}) = K_{\mathbf{l}} \left[2_{\pi} \mathbf{\varrho} \left(\mathbf{E}^{\oplus} \right) \right]^{-1} \int_{0}^{\mathbf{E}^{\oplus} - \mathbf{B}\mathbf{f}} \mathbf{\varrho}^{\oplus}(\mathbf{e}) d\mathbf{e}$$
 (6)

où ε est l'énergie d'excitation dans les degrés de liberté autres que celui de fission. La densité Q^{Φ} (ε) au point selle a la même expression que (5),

mais le paramètre de densité de niveaux <u>a</u> prend une autre valeur <u>ar</u> supposée varier avec l'énergie d'excitation selon la loi approchée :

$$\mathbf{a_f} = \mathbf{a} \ (1 + \frac{\mathbf{K_2}}{\mathbf{E}^{\bullet} - \Lambda}) \tag{7}$$

 K_1 et K_2 sont les constantes ajustables de ce calcul.

3 - RESULTATS OBTENUS SUR LES CIBLES 233_{Th}, 232_{Th} et 231_{Th}

Les sections efficaces de fission mesurées ou évaluées ont été utilisées pour déterminer, à l'aide des paramètres K_1 et K_2 , les largeurs Γ_f , Γ_n et Γ_γ d'une série d'isotopes. Les sections efficaces (n,xn) et (n,xnf) sont ensuite calculées par les équations (1) et (2).

Les valeurs obtenues des coefficients K_1 et K_2 ainsi que les énergies de séparation des neutrons et barrières de fission utilisées sont données dans le tableau l.

3-1-Cible Thorium 233

Les largeurs caractéristiques du noyau composé 234 Th formé par l'absorption d'un neutron, ont été obtenues par un ajustement aux sections efficaces de fission 233 Th (n,f) (fig. 1) calculées à partir des probabilités de fission P_f déduites de mesures de réactions (t,pf) sur 232 Th [6] et des sections efficaces de formation du noyau composé $\sigma_c(E_n)$ [3], suivant la relation :

$$\sigma_{n,f}(E_n) = \sigma_c(E_n) \quad x \quad P_f(E_n)$$
 (8)

Les largeurs caractéristiques des autres isotopes ²³³Th et ²³²Th qui interviennent respectivement au niveau des 2ème et 3ème paliers de la section efficace de fission totale du ²³³Th sont obtenues par ajustement sur les deux premiers paliers de fission du ²³²Th (cf 3-2).

Les résultats de calcul des sections efficaces de fission et de réactions (n,2n) et (n,3n) sur ²³³Th sont données dans le tableau 2, les sections efficaces de réaction (n,4n) obtenues sont reportées dans le tableau 5.

3-2-Cible Thorium 232

L'ajustement à la section efficace de fission expérimentale [7] de ²³²Th a permis de calculer les largeurs des isotopes ²³³Th, ²³²Th et

²³¹Th respectivement associés au premier, deuxième et troisième paliers de fission (cf fig. 2).

La section efficace de réaction (n,2n) calculée (fig. 3) est en assez bon accord avec l'expérience [8] excepté entre 10 MeV et 13 MeV où elle est un peu forte $(\sim 25\%)$ par rapport aux mesures. Une nouvelle paramétrisation du modèle optique actuellement en cours par ailleurs [3], et qui tend à diminuer les sections efficaces de formation du noyau composé dans ce domaine d'énergie, contribuera à une réduction sensible de cet écart. Les calculs présents seront ultérieurement repris dans ce nouveau cadre et complétés, si possible, par des calculs de sections efficaces (n,γ) et (n,n') à basse énergie.

A 14 MeV, la section efficace (n,3n) calculée présentement est en bon accord avec l'expérience [9].

Les sections efficaces (n,2n), (n,3n) et (n,f) calculées sont tabulées dans le tableau 3, et les sections efficaces (n,4n) dans le tableau 5.

3-3- Cible Thorium 231

Les largeurs caractéristiques des isotopes ²³²Th et ²³¹Th concernés par les fissions respectivement de lère et de 2ème chance ont été déterminées par ajustement sur la section efficace de fission expérimentale du ²³²Th.

Les largeurs du 230 Th, nécessaires pour calculer le 3ème palier de fission de 231 Th (fig 4), ont été obtenues par une simple extrapolation des rapports $\left(\frac{\Gamma_f}{\Gamma_T}\right)_{E_n} = 3$ MeV des isotopes voisins en fonction du nombre de masse (fig. 5).

On notera que les sections efficaces de fission calculées au niveau du ler palier se trouvent, sans aucun ajustement, être très voisines de celles obtenues indépendamment à partir des mesures de P_f au moyen de réactions (t,pf) [6] et en utilisant la relation (8).

Les sections efficaces (n,2n), (n,3n) et de fission calculées sont données dans le tableau 4, et les sections efficaces (n,4n) dans le tableau 5.

Les figures 6 et 7 montrent les sections efficaces (n,xn) calculées (x = 2,3 et 4) respectivement pour les cibles 233 Th et 231 Th.

4 - CONCLUSION

L'utilisation de ce modèle statistique simple a permis de calculer les sections efficaces de fission du ²³¹Th et ²³³Th pour lesquelles n'existent que des mesures très indirectes et dans un domaine très limité d'énergie [6,7]. L'ajustement à la section efficace de fission mieux connue du ²³²Th a permis également de calculer, au moyen des largeurs d'une série d'isotopes concernés par les fissions de ler, 2ème et 3ème chances, les sections efficaces des réactions (n,2n) et (n,3n) des 3 isotopes ²³³Th, ²³²Th et ²³¹Th. Compte tenu des comparaisons possibles avec les sections efficaces expérimentales ²³²Th (n,2n) et ²³²Th (n,3n), nous esperons que les sections efficaces calculées par la méthode présente pour ces noyaux lourds peuvent constituer une première approche utile pour les applications pratiques en l'absence de données expérimentales suffisantes.

REFERENCES

- [1] WRENDA 76/77 World Request List for Nuclear Data INDC(SEC) 55/URSF.
- [2] J. JARY, Rapport CEA-R-4647 (1975)
- [3] Ch. LAGRANGE, NEANDC-Report JAERI-M-5984 (1975), et communications privées.
- [4] J.D. JACKSON, Can. J. Phys., 34 (1956) 767.

 E.K. HYDE, The Nuclear Properties of the Heavy Elements, Vol III p.318 (Prentice-Hall, Inc (1964)).
- [5] A. GILBERT, A.G.W. CAMERON, Can. J. Phys. <u>43</u> (1965) 1446.
- [6] J.D. CRAMER, H.C. BRITT, N.S.E. 41 (1970) 177.
- [7] V.M. PANKRATOV, Atom. Energya 14 (1963) 177. BNL-325 2ème édition (1965).
- [8] J.P. BUTLER et al, Can. J. Chem. 39 (1961) 689.

 H.A. TEWES et al, Bull. Am. Phys. Soc. 4 (1959) 445.

 R.J. PRESTWOOD et al, Phys. Rev. 121 (1961) 1438.

 D.R.F. COCHRAN, Communication privée (1958) citée dans ENL-325 (1965).
- [9] M.H. McTAGGART et al, J. Nucl. Energy <u>17</u> (1963) 437.
- [10] Livermore. LLL ENDL. 1976.
- [11] A.H. WAPSTRA, N.B. GOVE, Nuclear Data Tables 2 (1971) nº 4-5.
- [12] J.E. LYNN, Rapport AERE-R-7468 (1974).

Manuscrit regu le 7 mars 1977

TABLEAU 1

Isotope	к ₁	к2	S	Bf
234	0,251	0,226	6,179	6,07
233	0,296	1,016	4,789	6,70
232	0,225	0,028	6,431	5,82
231	1,757	0	5,129	6,02
230	0,908	0	6,787	6,10

Paramètres K_1 et K_2 obtenus, énergies de séparation S des neutrons [11] et barrières de fission [12] des isotopes du Thorium.

TABLEAU 2

ARRACTIONS (N.XM) ET (N.XMF) FUUR LE NOYAU DE CHARGE 28 90. ET DE NOMBRE DE HASSE AN 233.

LES ENERGIES SONT «XPRIMEES EN MEV.LES SECTIONS EFFICACES EN BARN

0.20000 02	0,1800D 02		0.15000 02	0.14000 02		0.12000 02		0,1000D n2	0.90000 01	0.80000 01	0.70000 01	0.00000 01	0.50000 01	0.40000 01	0.30000 01	0.20000 01	0.17500 01	0.15000 01	0.10000 01		MEUTHONS	MARRGIE DES
7.74900-01	1 0.22980 00	2 0.01020 00	1 0.94010 00	3 0.144BD 01	I 9.2050D 01		1 0.25450 01	1 0.253MD 01	I 0.24510 01	1 0.23520 01	I 0.21870 01	I 0.13650 01	1 0.4877-01	2 0.0	2.0	7 0.0	1 0.0	20.0	7 0.0		I (N.2N)	I SPCT, FFFICACE
10 041140	1 0.13450 01	1 0.17556 01		1 0.9442D 00	1 0.3542b 00	1 0.21/30-01	2 0.0	1 0.0	1 0.0	1 0.0	0.0	0.0	0.0	1 0.0	7.0	2 0.0	1 0.0		1 0.0	H H	M (N. JR)	I SECT. EFFICACE
1 0.71310-01	1 0.75050-01	I C.79670-01	I 0.82770-01	1 0.RS990-01	1 0.89010-01	1 0.93300-01	1 0.97670-01	1 0.10340 00									_				I (N.F)	I SECT, EFFICACE
1 0.86380-01	1 0.11090 00	1 0.12840 00	I 0.179AD 00	I 0.12750 00	1 0.17477 00	I 0.12810 00	1 0. 12AND 00	1 0.12440 00	1 0.11110 00	1 0.85350-01	1 0.22380-00	1 0.242.0-05	1 0.10070-06	1 0.0	1 0.0	1 0.0	1 0.0	1 7.0	1 0.0	H	I (N.NF)	I SECT. EFFICACE
1 0.10110 00	1 0.12490 00					1 0.71150-01	1 0.43160-02	1 0.32300-04	7 . 0.0	7 3.3	1 0.0	1 7.0	1 0.0	1 0.0	7 7.5	1 3. 0	2.3	1 0.0	1 0.0	***	1 (4,247)	I SECT. EFFICACE
1 0.20010 00 1	. 31110						1 0.231CD 00 I					I 0.10240 00 I			1 0.10520 00 1		1 0.10200 00 1	1 0.10169 00 1		m •4	I PISSION TOTALE I	I SECT EFFICACE

ABLEAU 3

**RACTIONS (N.XN) ET (N.XNF) FOUR LE NOYAU DE CNAMÉE 2ª 90, ET DE NOMBRE DE MASSE AW 232,

LES ENERGIES SONT EXPRINEES EN MEV.LES SECTIONS EFFICACES EN DARN

ENERGIE DES	1 SECT, EFFICACE	1 SECT, EFFICACE 1	SECT, EFFICACE 1	SECT, EFFICACE		1 sect resteres
# C 4 # 0 # 5	(H.2H)	2 (2,32)	7 . F. J.	(#*#)	(8.288)	
8. SUGOB 01	•••	0.0	13360	0.0	0	1 0.13350 00 1
0.37000 01		0.0	13360	0.0		4 7 7 4 8
	0.0	1 0.0 I	13400	0.0	0	13400
0.50000 01	•	0.0	13700	0.21530-03	0	13720
0.53000 01	0.0	0.0	13810	0.10700-02	C.0	13925
00000	•	0.0	0.13820 00 1	٣.	0.6	1 9,17319 99 1
. 1000	•	. 0.0	13410	٠.		13130
0.05040	•	0.0	13770	12345 3		25810
	10-02NA10 1	· · · ·	13660	٦.	0.0	325AD
12000	7	0.0	13543	.21450 0		15190
20002	1 0.40130 00	0.0	13340	. 20310 0	0.0	\$ 3609
90008	٦.	0.0	13140	•		32560
0006	•	0.0	14590	.15750 0	0.0	30510
10000	1 0.21060 01	0.0	14450	.1499D n	0.0	29410
10000	•	0.0	14120	15040	0.6	27180
. 1170D A	•	1 0.37400-04 1	13310	.151AB 0	0,15920-04	28470
2000	~	10-0#\$B\$.0	13120	7.	3	27.970
0 30251.	•	1 0.37970 00	12850	.14450 0		28100
0 00651	15750	00 03148.0	12530	0 01671.	41590-	31610
0 00671	0 00866	I 0.13558 01	12210	.14010 0	12400	38820
0 0015	0020	100001.00	12120	.13780 0	16270	40170
0 00101	0 95675	10 0,16840 01	11810	Ē	.21480	46390
1050	200	1 0.17550 01	11690	C	00.23410 00	4.40.20
0 00571	.32340	1 0.18610 1	11490	11440 0	. 26A90	80220
18250	1 0.21600 00	1 00.19500 01	11290	11140	29030	51510
00061.	.15570	1 0.199en 01 1	11175		39260	
0.20000 02	1 0.94520-01	1 0,18950 01 1	08601	-05786	29510	55350

TABLEAU 4

-REACTEORS (M.XM) ET (M.XMF) POUR LE NOVAU DE CHARGE 24 90, ET DE NOMBRE DE MASSE AM 231,

LES ENERGIES SONT EXPRINCES EN NEV.LES SECTIONS EFFICACES EN BARN

	3 Spet, EFFICACE					
MEUTROKS	: (N.2N)	r (N.3H)	(4,7)	((N, NF)	! (N.2NF)	I FISSION TOTALE I
	į				i	i
0.10000 01	1 0,6	1 0,0 1	1 4,16460 00	1 0.0	1 0.0	1 00 dasar.o 1
0,15000 01	1 0.0	1 0.0	E 0.15470 00 :	t 0.0	1 0.0	I 0.15970 00 I
0.17500 01	1 0.0	I 0.0	1 0.160#D 00 :	.00	1 0.0	I 0.160ab 00 I
10 00005.0	2 0.0	2 0.0	0.1642D 00	1 0.0	1 0.0	I 0.164/0 00 I
0.30000 01	1 0.0	. 0.0	0,1687D CO	0.0	1 0.0	1 0.16870 00 1
0.4000D 01	I 0.0	1 0.0	1 0.16490 00 1	0.0	1 0.0	1 0.1699D 00 I
0.30000 01	2 0.0	0.0	0.16530 00 1	0.83220-04	1 0.0	I 0,14540 00 I
0.00000 01	1 0.68580 OO 1	1 0,0 1	0.15760 00	0.77128-02	1 0.0	I 0.14530 00 I
0.70000 01	:	1 0.0	0.16176 00	0.12760 00	1 0.0	\$ 0.28930 00 \$
0.80000 01	2 6,19430 01 2	1 0,0 1	0,14570 00 3	0.24950 00	1 0.0	I 0.39570 00 I
0.40000 01	:	1 0.0 1	0,13540 00 1	0.30810 00	1 0.0	1 0.4435D 00 I
50 00001.0	2 0.22150 01 1	1 0.0	0.12670 00 1	0.33410 00	1 0.22600-05	I 0.44827 00 I
0.11000 02	1	0.0	0.11/20 00 1	0.34300 00	1 0,41530-03	1 0.44040 00 1
50 00056.0	1 6.55440 01 1	1 0'8A700-0 0 1	0.10450 00 1	0.34890 00	I 0.5789D-01	I 0.47470 00 I
0.13000 05	0.21000 01	0.34110-01	0,10260 00 1	0.34230 00	0.15330 00	1 0,57870 00 1
0.14000 02	0.17350 01 1	0.27700 00 1	0.47540-01	0.34060 00	0.29940 00	1 0,73760 00 1
0.15000 02	1 6,12840 01	0.64540 00 1	0.22460-01 1	0.35950 00	1 0,3460D 00	1 0.79800 00 I
0.10000 05	0.95080 00	0.97770 00 1	0,87930-01	0.35710 00	0,36540 00	1 0.81050 00 1
0.14000 05	0.43930 00	0.14060 01	0.81000-01	0.34470 00	1 0,4132D 00	1 0.83820 00 I
0.20000 05	0.1544D 00 1	1 0.12450 01 1	0.75520-01 1	0.27390 00	0,35800 00	1 0.7215D 00 I

-

TABLEAU 5

	Seuil de la réaction (MeV)	E _n (MeV)	σ(n,4n) (barn)
233 _{Th}	16,349	18 20	0,303 1,163
232 _{Th}	18,347	19 20	0 0 ,1 24
231 _{Th}	17,149	18 20	0,0016 0,550

Sections efficaces des réactions (n,4n) des isotopes du Thorium.

LEGENDE DES FIGURES

- Fig. 1 Section efficace de fission neutronique du 233Th.
 - x Réf. [6] (voir texte)
 - --- Réf.[10]: évaluation Livermore ENDL (1976)
 - Calculs présents
- Fig. 2 Section efficace de fission neutronique du 232 Th.
 - x Réf. [7]
 - ___ Calculs présents
- Fig. 3 Sections efficaces des réactions 232Th(n,2n) et 232Th(n,3n)
 - BUTLER et al
 - x TEWES et al
 - PRESTWOOD et al
 - △ COCHRAN et al
 - --- Evaluation expérimentale BNL-325 (1965)
 - McTAGGART Réf. [9] [Réaction (n,3n)]
 - Calculs présents
- Fig. 4 Section efficace de fission neutronique du 231 Th
 - * Réf. [6] (voir texte)
 - --- Evaluation de Livermore. ENDL (1976) réf. [10]
 - Calculs présents
- Fig. 5 Rapports des largeurs de fission aux largeurs totales, pour une énergie des neutrons incidents de 3 MeV, en fonction du nombre de masse du noyau.
 - x Valeurs obtenues par ajustement aux différentes sections efficaces de fission expérimentales (233Th et 232Th).

Réf. [8] réaction (n,2n)

- ___ Droite extrapolée
- Fig. 6 Sections efficaces (n,xn) calculées (x = 2,3 et 4) sur la cible 233_{mn}
- Fig. 7 Sections efficaces (n,xn) calculées (x = 2,3 et 4) sur la cible 231_{Th} .

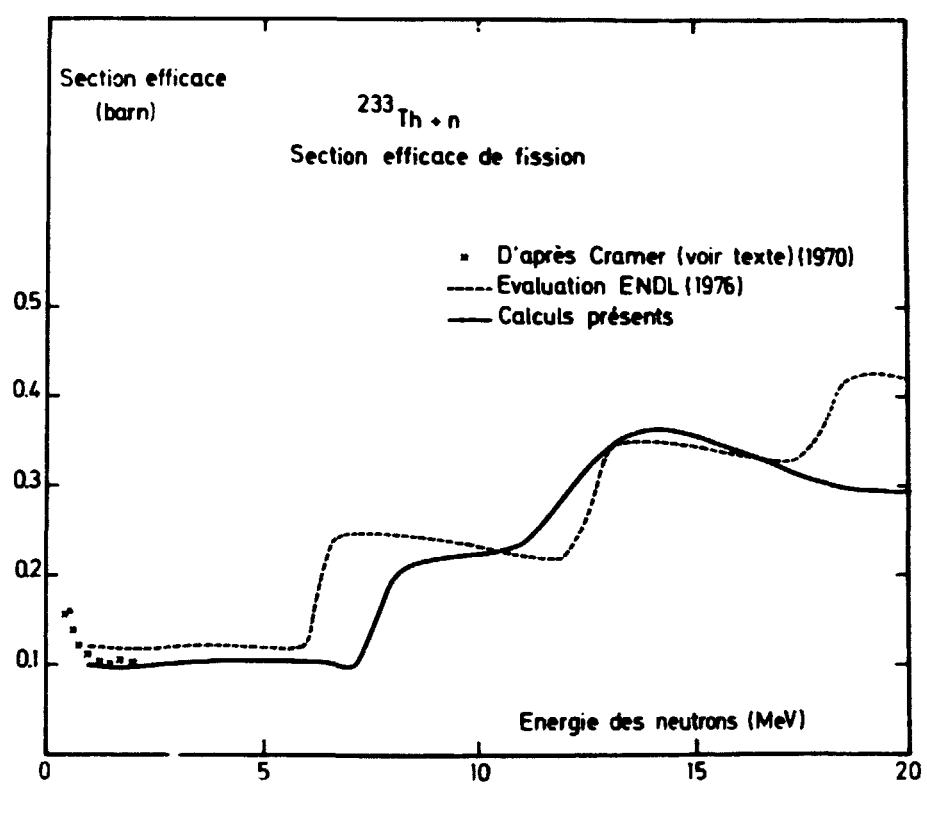
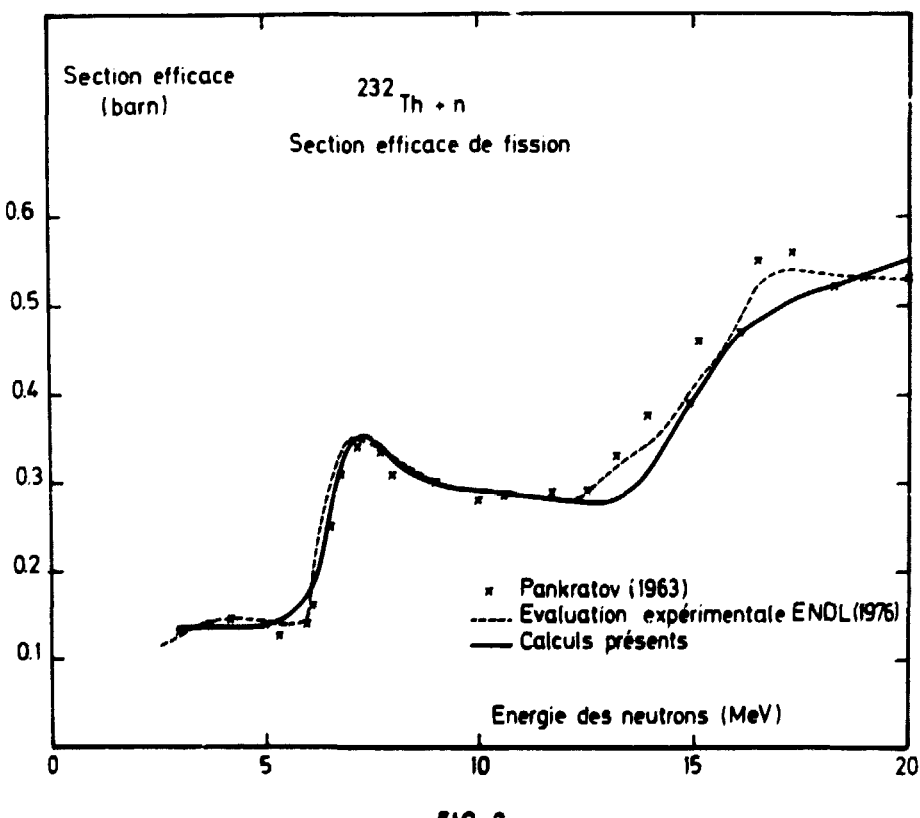
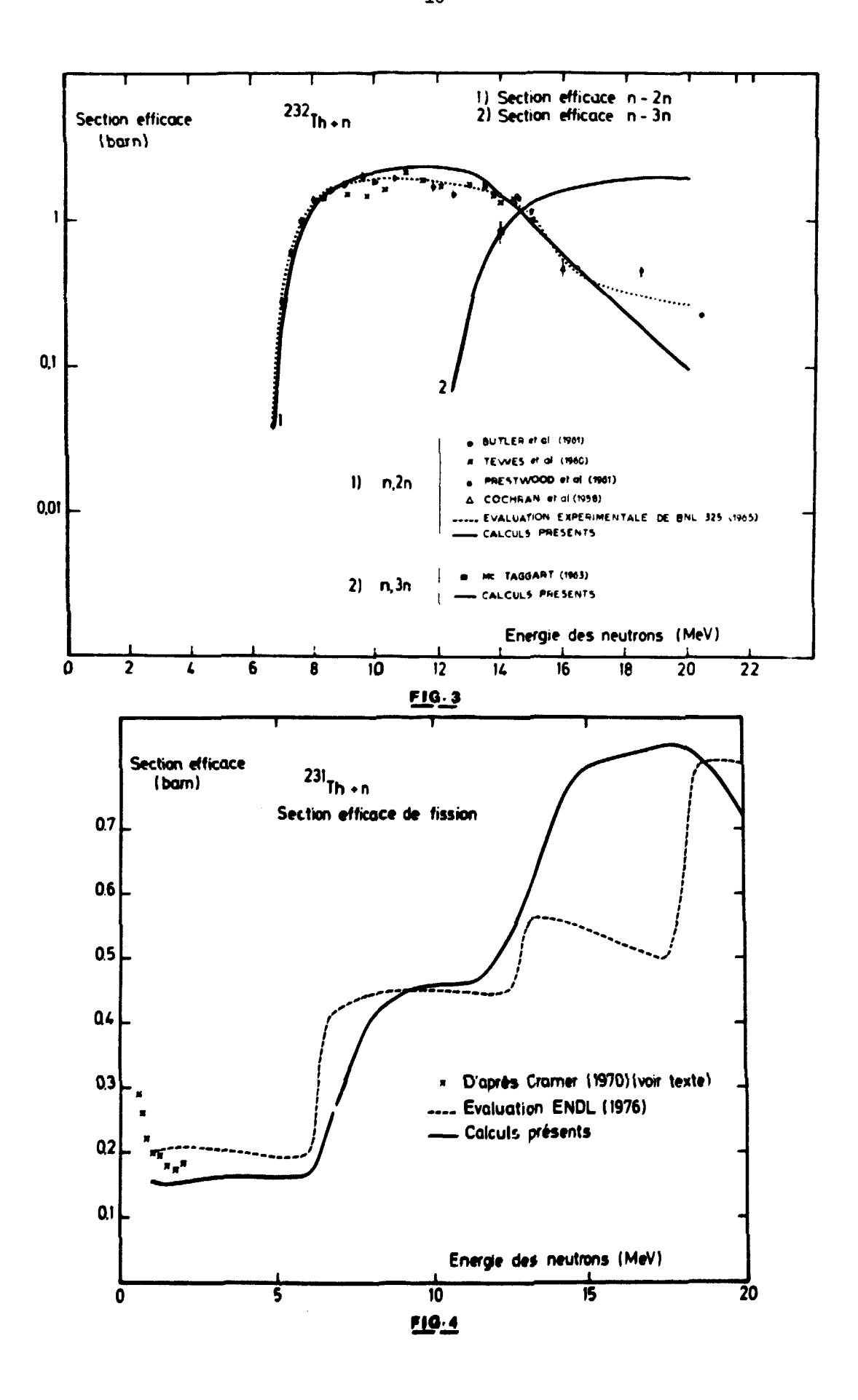
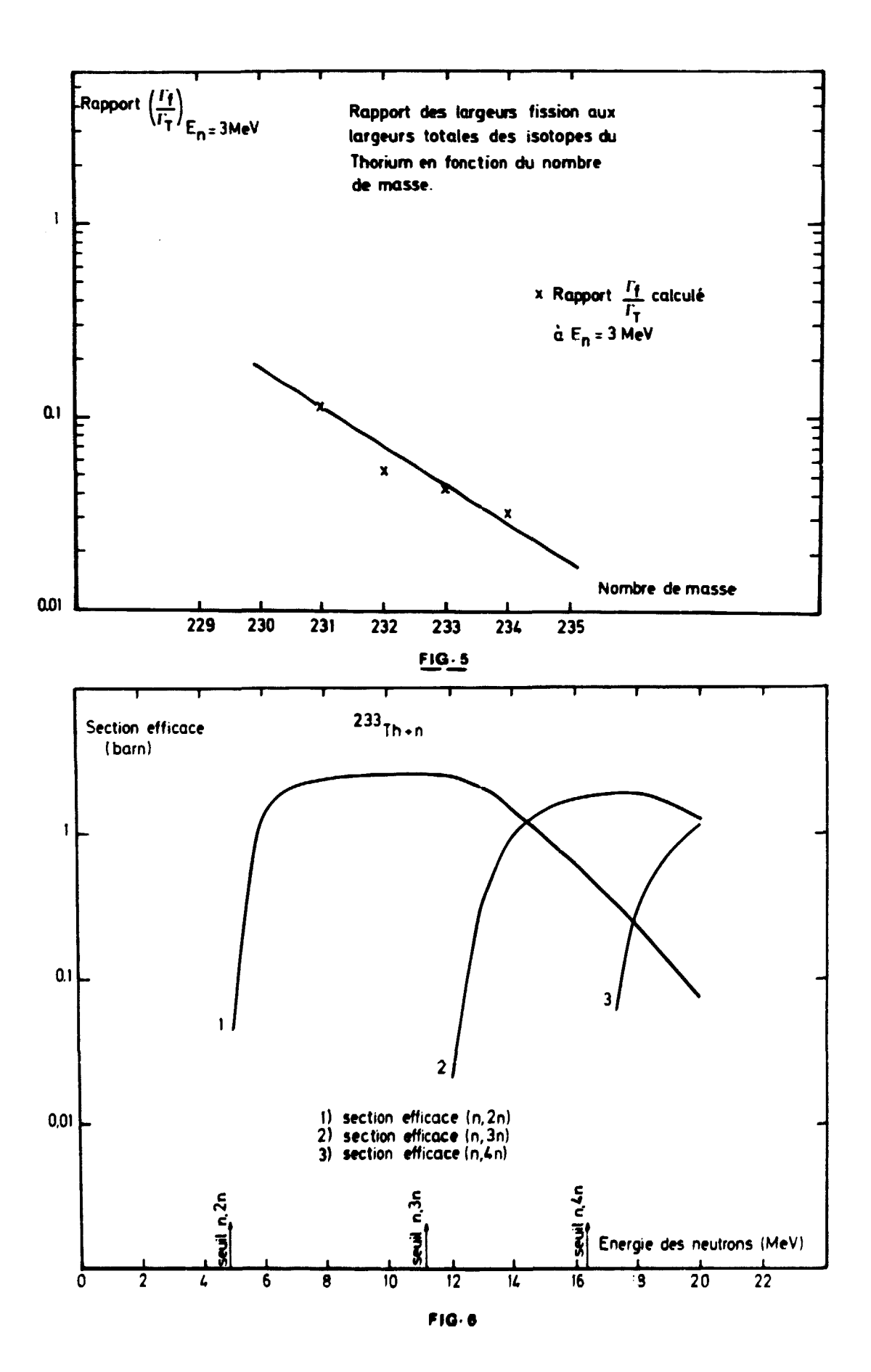


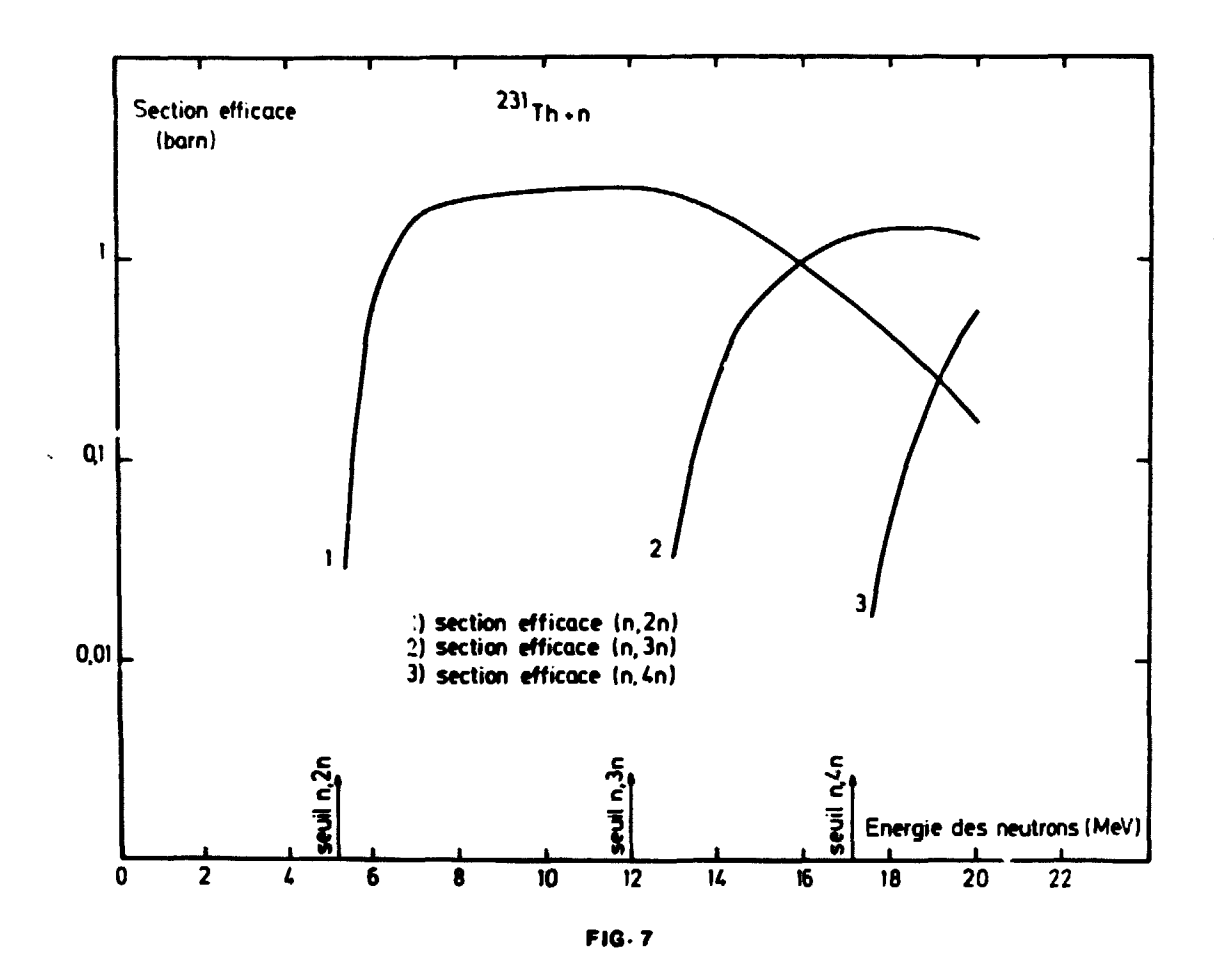
FIG- 1



F1G . 2







Edité par le Service de Documentation Centre d'Etudes Nucléaires de Saclay Boîte Postale nº 2 91190 - Gif-sur-YVETTE (France)